



ساخت دزیمتر نانوساختار CaZrO_3 با افزودنی Eu^{3+} به روش سل-ژل احتراقی و مطالعه خواص ترمولومینسانس آن

لیلا کریمی^۱، مرجانه جعفری فشارکی^{۱*}، محمد رضا جلالی^۱ و احسان صادقی^۲^۳

^۱گروه فیزیک، دانشگاه پیام نور، تهران، ایران.

^۲گروه فیزیک، دانشگاه کاشان، کاشان، اصفهان، ایران.

^۳پژوهشکده علوم و فناوری نانو، دانشگاه کاشان، کاشان، اصفهان، ایران.

^۱تهران، دانشگاه پیام نور، گروه فیزیک، کد پستی: ۱۹۵۳۶۳۳۵۱۱

پست الکترونیکی: M.Jafari.Fesharaki@pnu.ac.ir

چکیده

در این پژوهش، نانوفسفر ($\text{Eu}/\text{mol}\% = 1, 2, 3, 4, 5$) به روش سل-ژل احتراقی با سوخت اسیدسیتریک در دمای پایین تولید شد. نتایج آنالیز پرتو ایکس (XRD) حاکی از تشکیل فاز نمونه در دمای 250°C با ساختار پروسکایت بود. همچنین نتایج XRD نشان داد دمای بهینه جهت تشکیل نمونه تکفاز و بلوری نانوفسفر $\text{Eu}^{3+}, \text{CaZrO}_3$ در 700°C بود. برای مطالعه ساختار و تخمین اندازه نمونه‌های تولید شده از آنالیز پرتو ایکس (XRD) استفاده شد. مورفولوژی نمونه‌ها با استفاده از میکروسکوپ الکترونی رویشی گسیل میدانی (FE-SEM) بررسی قرار گرفت. همچنین جهت بررسی آنالیز کمی میزان عناصر موجود از آنالیز تفکیک انرژی پرتو ایکس (EDAX) متصل به دستگاه SEM استفاده شد. مطالعه خصوصیات ترمولومینسانس (TL) نمونه‌های ساخته شده تحت پرتودهی UV در مدت زمان ثابت با تغییر غلظت ناخالصی یوروبیوم و همچنین تغییر مدت زمان پرتودهی UV در غلظت ثابت برای نمونه $\text{Ca}_{0.98}\text{Eu}_{0.02}\text{ZrO}_3$ انجام شد. نمونه $\text{Ca}_{0.98}\text{Eu}_{0.02}\text{ZrO}_3$ تکرارپذیر است و محوشدگی گرمایی بسیار ناچیزی دارد.

کلیدواژگان: دزیمتر، نانوساختار، CaZrO_3 ، سل-ژل احتراقی، ترمولومینسانس.

۱. مقدمه

حساسیت بالا، محوشدگی پایین، پایداری بالا (استفاده مکرر بدون تغییر در حساسیت ترمولومینسانس) و خطی بودن پاسخ دزیمتر نسبت به دز [۱-۳]. زیرکنات‌های قلیایی خاکی زیرمجموعه‌ای از خانواده اکسیدها با فرمول عمومی $A^{2+}\text{B}^{4+}\text{O}_3$ هستند که A و B به ترتیب می‌توانند $\text{A}=\text{Ca,Ba,Sr,Pb,Sn,Fe}$ و $\text{B}=\text{Zr,HF,Ti,Si}$ باشند [۴-۷].

استفاده از دزیمترهای ترمولومینسانس برای دزیمتری در زمینه‌های پزشکی، فردی و محیطی در حال حاضر بسیار گسترش یافته است. ترمولومینسانس عبارت است از گسیل نور با گرم کردن ماده لومینسانس که از قبل در اثر پرتوگیری انرژی تابشی جذب نموده باشد. از جمله مهم‌ترین خصوصیاتی که برای یک دزیمتر ایده‌آل می‌توان در نظر گرفت عبارتند از:

فوتولومینسانس دارد. امروزه روش‌های متعددی برای تولید نانوپودرها استفاده می‌شود. این روش‌ها عبارتند از: روش حالت جامد، روش هم‌رسوبی، روش هیدروترمال و روش سل‌ژل [۱۵-۱۸]. روش حالت جامد به‌دلیل دمای بالا دارای اشکالاتی اساسی (افزایش اندازه ذرات، توزیع گستردۀ اندازه ذرات، آلگومرۀ شدن بالا و فقدان همگنی شیمیایی) می‌باشد.

در پژوهش حاضر نانوفسفر CaZrO_3 آلاییده شده با Eu^{3+} به‌روش سل‌ژل احتراقی با دمای پائین با سوخت اسیدسیتریک به عنوان روشی جدید تهیه شد و ساختار بلوری و مورفولوژی سطحی آن به‌ترتیب با آنالیز XRD و FE-SEM مطالعه شد. منحنی درخشندگی ترمولومینسانس با غلظت‌های مختلف Eu^{3+} اضافه شده در زمان ثابت پرتوودهی UV و هم‌چنین ذرهای مختلف تابش UV در غلظت ثابت Eu^{3+} ، بررسی شد. افروزن ناخالصی یوروبیوم (Eu) به CaZrO_3 موجب اندرکش قوی بین میزان و یون افروده می‌شود که به دنبال آن خواص ترمولومینسانس و فوتولومینسانس جالبی را ایجاد می‌کند [۱۲-۱۴].

۲. روش کار

۱.۱. ساخت ذرات

مواد مورد استفاده جهت تهیه نانوفسفر $\text{CaZrO}_{3:x}\text{Eu}$ عبارتند از: $\text{Zr}(\text{NO}_3)_4$ ، $\text{Ca}(\text{NO}_3)_2$ ، $\text{Eu}(\text{NO}_3)_3$ و CaZrO_3 با درجه خلوص بالا. جهت تهیه ۲g از $\text{Ca}_{1-x}\text{ZrO}_3\text{:Eu}_x$ برای (۴، ۵ mol %)، (۳، ۲، ۱) پس از توزیز مواد براساس استوکیومتری مشخص، مواد به‌طور جداگانه در آب دو بار یونیزه شده حل شد و به مدت بیست دقیقه روی همزن مغناطیسی در دمای ۵۰°C قرار گرفت، سپس حجم مشخصی اسیدسیتریک به عنوان سوخت به محلول اضافه شد. ترکیب حاصل به‌آرامی همزده شد تا محلول یکنواختی به دست آمد. جهت تنظیم pH، محلول آمونیوم به صورت قطره‌قطره به محلول اضافه شد تا pH آن به

این اکسیدها دارای ساختار بلوری نوع پروسکایت هستند که به‌دلیل کاربرد در سلول‌های خورشیدی، ماده‌ی آند در سلول سوخت اکسید جامد، فوتوكاتالیست‌ها، مواد دی‌الکتریک در میکروموج‌ها، کاتالیزور، حسگرهای هیدروکربن (به‌دلیل داشتن رسانایی پروتون در دمای بالا) و ماده‌ی میزان برای مواد فسفرسانس، از اهمیت خاصی برخوردار هستند [۸-۹].

میزان‌های خاکی نظری CaZrO_3 به‌دلیل ویژگی‌های برجسته مانند پایداری شیمیایی و حرارتی بالا، ساختار بلوری تکفاز، ضریب‌شکست بالا و باندگپ گستردۀ دارای کاربردهایی در صنعت سرامیک‌های الکترونیکی، حسگرهای گازی، پوشش‌های اپتیکی، فیلترها و غیره می‌باشد [۱۰]. CaZrO_3 با دمای ذوب ۲۳۴۰°C به عنوان یک ترکیب نسوز شناخته شده است. ساختار بلوری آن هشت‌وجهی است که در دمای ۱۷۵۰°C به ساختار بلوری مکعبی تغییر می‌کند [۱۱]. خواص فیزیکی و شیمیایی مراکز لومینسانس علاوه بر میزان، نوع و غلظت ناخالصی‌های اضافه شده به‌روش ساخت نمونه‌ها نیز وابسته می‌باشد [۱۲].

بررسی مقالات و گزارشات علمی خاکی از آن است که بیش‌تر کارهای تحقیقاتی صورت گرفته بر خواص لومینسانس CaZrO_3 با تکیه بر روش حالت جامد متمرکز شده است [۱۲-۱۶]، این در حالی است که خواص لومینسانس به‌شدت متأثر از اندازه ذرات (یک اندازه مناسب نه بسیار بزرگ) می‌باشد.

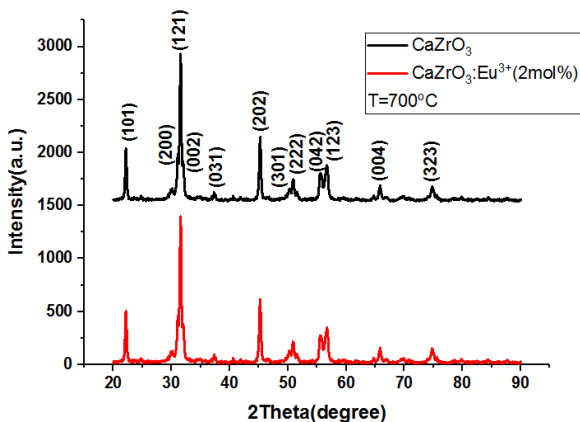
در سال‌های اخیر استفاده از نانومواد در رشته‌های مختلف علوم بسیار گسترش یافته است. با کاهش اندازه ذرات، نسبت سطح به حجم افزایش می‌یابد. این امر موجب تفاوت در خصوصیاتی نظری خواص نوری و دیزیمتری نانومواد نسبت به حالت توده‌ای آنها می‌شود، زیرا نانومواد با دارابودن مراکز سطحی بالا قابلیت زیادی در ایجاد مراکز گیراندازی خواهد داشت که تأثیر ویژه‌ای در خواص لومینسانس و

فازهای اضافی در ترکیب یا شد در الگوی XRD مشاهده نشد.

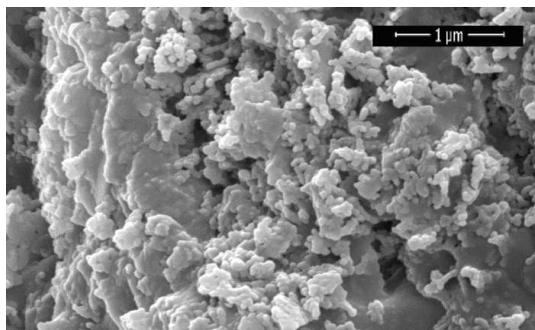
اندازه‌ی پلورک‌ها نیز یا استفاده از فرمول شیر [۲۰]:

$$D = \frac{0.9\lambda}{\beta \cos \theta} \quad (1)$$

محاسبه شد که λ طول موج اشعه ایکس (nm) $= 0.154$ است. FWHM پهنا در نصف بیشینه و θ زاویه پراش می‌باشد که با استفاده از داده‌های XRD قابل محاسبه است. مورفولوژی سطحی نمونه‌ها و همچنین تخمین اندازه ذرات نیز با استفاده از FE-SEM انجام شد که نتایج آن در شکل ۲ نشان داده شد. در این تصویر متوسط اندازه ذرات با نتایج به دست آمده از آنالیز XRD در توافق خوبی بود، همچنین نانوذرات از همگنی مناسبی برخوردار بود. البته همان‌طور که در شکل هم مشهود است ذرات تا اندازه‌ای آلگومره شدنده که معمولاً در روش خوداحتراقی امری بدیهی است [۲۱]. همان‌طور که در شکل ۳ هم مشخص است تصویر EDAX نمونه $\text{Ca}_{0.98}\text{Eu}_{0.02}\text{ZrO}_3$ حاکی از ترکیبات Ca، Zr و O در نمونه می‌باشد.



شکل(۱): الگوی XRD نمونه CaZrO₃ و Ca_{0.98}Eu_{0.02}ZrO₃ کلسیسته شده در دمای ۷۰۰ °C



شکل (۲): تصویر FE-SEM نمونه $\text{Ca}_{0.98}\text{Eu}_{0.02}\text{ZrO}_3$ کلسینه شده در دمای 700°C .

رسید [۱۹]. محلول به مدت ۵ دقیقه داخل کوره الکتریکی برنامه ریزی شده در دمای 350°C قرار گرفت تا عمل احتراق انجام شد. درنهایت پودر خاکستری نرمی به دست آمد. پودر حاصل جهت تشکیل فازهای نهایی و زدوده شدن کربن های موجود به مدت سه ساعت در دمای 700°C داخل کوره الکتریکی برنامه ریزی شده قرار گرفت. پس از اتمام عملیات حرارت دهنده پودرهای حاصل به مدت ۱۰ دقیقه درون هاوون دسته، آسیاب شدند.

۲-۲. بررسی ساختار بلوئی و مورفولوژی ذرات

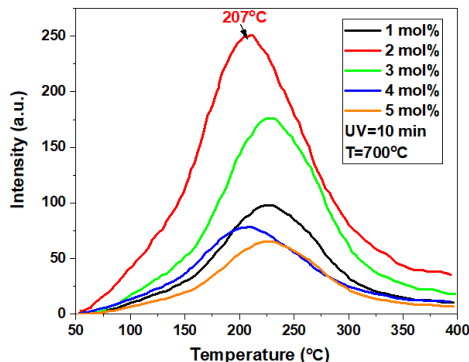
بررسی ساختاری و تشکیل فاز نمونه‌ها توسط الگوی پراش اشعه‌ی ایکس (XRD) با پرتو Cu-K α انجام شد. مورفولوژی نمونه‌ها نیز توسط میکروسکوپ الکترونی رویشی گسیل-میدانی (FE-SEM) صورت گرفت. آنالیز عنصری نمونه‌ها توسط طیف‌سنج تفکیک انرژی پرتو ایکس (EDAX) بررسی شد. منحنی ترمولومینسانس نمونه‌ها نیز توسط خوانشگر TLD مدل Harsha 4500 در دمای اتاق مطالعه شد. پرسوده‌ی نمونه‌ها با استفاده از یک لامپ فرابنفش با طول موج ۳۲۰-۲۹۰ نانومتر و شار $1/2 \text{ mW/cm}^2$ انجام گرفت. لامپ مذکور در یک محفظه تاریک در آزمایشگاه نانوفوتونیک دانشگاه کاشان قرار دارد که نمونه‌ها در فاصله ۳۰ سانتی‌متری آن قرار می‌گفتند.

الگوی XRD نمونه Ca_{0.98}Eu_{0.02}ZrO₃ و CaZrO₃ تهیه شده در شکل ۱ در دمای ۳۵۰ °C و کلسینه شده در ۷۰۰ °C نشان داده شده است. از آنجایی که شعاع یونی Eu³⁺ می‌باشد و شعاع یونی Zr⁴⁺ ۰/۰۷۲ nm است، لذا یون‌های جایگزین یون‌های Ca²⁺ شد. قله‌های مشخص شده با اندیس‌های میلر در شکل ۱ متناظر با ساختار پروسکایت اورتورومیک CaZrO₃ با PDF کارت شماره ۳۵-۰۷۹۰ و گروه فضایی Pnma بود. هیچ‌گونه قله‌ی اضافی که دلالت بر وجود

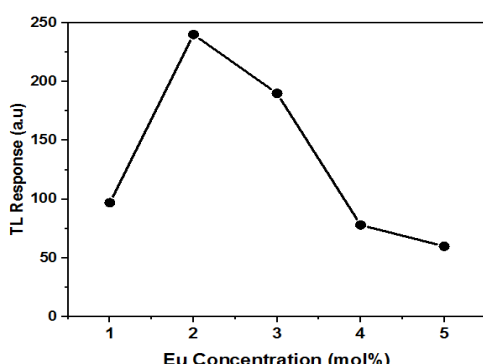
۳. نتایج و بحث

۱.۳. منحنی درخشندگی ترمولومینسانس

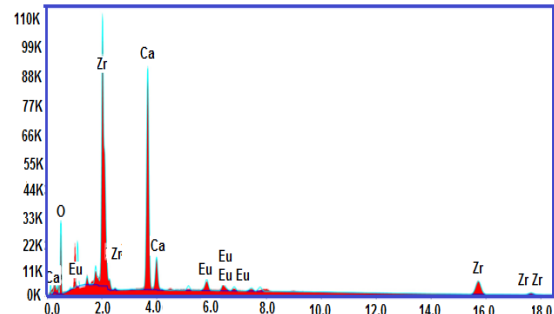
شکل ۵ منحنی درخشندگی ترمولومینسانس برای نمونه های $\text{Ca}_{1-x}\text{ZrO}_3:\text{Eu}_x$ ($x=1, 2, 3, 4, 5 \text{ mol } \%$) $2^\circ\text{C}/\text{s}$ با نرخ $\text{Ca}_{1-x}\text{ZrO}_3:\text{Eu}_x$ ($x=1, 2, 3, 4, 5 \text{ mol } \%$) را نشان داد. منحنی TL یک قله‌ی تابشی منفرد در دمای 207°C دارد. حساسیت مواد ترمولومینسانس بهشت به نوع و غلظت ناخالصی های اضافه شده به ماده میزبان بستگی دارد. برای یافتن بهینه‌ی تابش ترمولومینسانس بر حسب غلظت ناخالصی، با ثابت نگهداشتن میزان دز تابشی UV، میزان آلایندگی به یوروپیوم تعییر کرد تا مقدار بهینه آن مشخص شد. نتایج در شکل ۶ نشان داد بیشترین شدت تابش در مقدار غلظت 2 mol\% بود. با تعییر غلظت ناخالصی در شبکه میزبان، در شکل منحنی تعییری ایجاد نشد و تنها شدت آن تعییر کرد.



شکل(۵): منحنی تابش ترمولومینسانس برای $\text{Ca}_{1-x}\text{ZrO}_3:\text{Eu}_x$ در غلظت های مختلف.



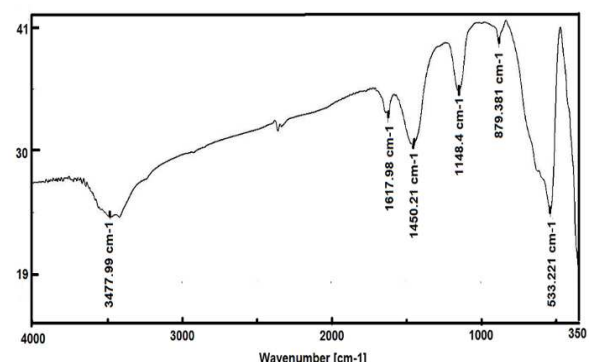
شکل(۶): تغییرات پاسخ بر حسب غلظت ناخالصی یوروپیوم.



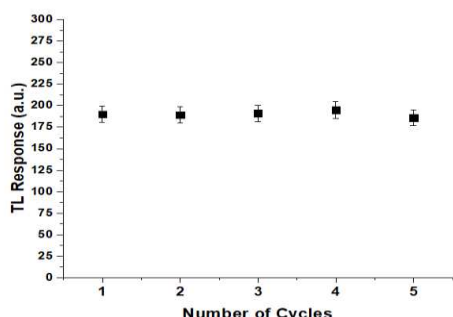
شکل(۳): نمودار EDAX نمونه $\text{Ca}_{0.98}\text{Eu}_{0.02}\text{ZrO}_3$

طیف‌سنجی تبدیل فوریه‌ی مادون قرمز یک ابزار آنالیز قوی است که اساساً برای مطالعه‌ی ساختار مولکولی سنتز شده به کار می‌رود. اساس FTIR شامل بازتابش مواد سنتز شده با تابش مادون قرمز است. جذب تابش IR نتیجه‌ی برانگیختگی مولکول‌ها به یک حالت ارتعاشی بالاتر است. اختلاف انرژی بین حالت‌های پایه و برانگیخته ارتعاشی مطابق با طول موج جذب شده تابش است [۲۲]. طیف FTIR در شکل ۴ قله‌های جذب شده تابش است [۲۳].

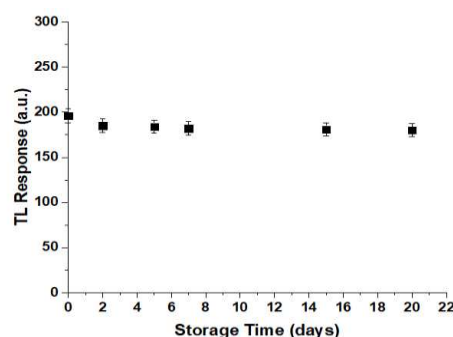
طیف FTIR عدم وجود واسطه‌های آلی در نمونه را با توجه به محدوده طول موج‌های مشخص شده در شکل تأیید کرد. طیف IR با یک محدوده پهن از $350 - 1617 \text{ cm}^{-1}$ مطابق با ارتعاشات اکسیژن-زیرکونیوم بود. حضور قله‌ی جذب در 3478 cm^{-1} مربوط به ارتعاشات اکسیژن-یوروپیوم بود [۲۴].



شکل(۴): طیف FTIR نمونه $\text{Ca}_{0.98}\text{Eu}_{0.02}\text{ZrO}_3$

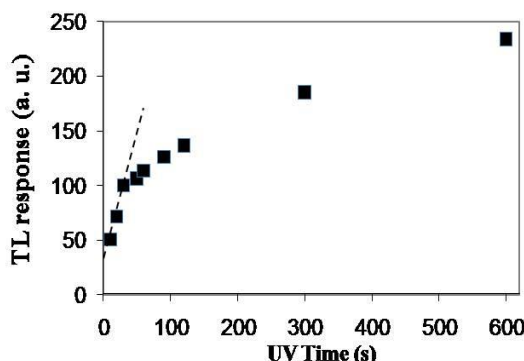


شکل(۸): تغییرات پاسخ ترمولومینسانس در استفاده مکرر از دزیمتر $\text{Ca}_{0.98}\text{Eu}_{0.02}\text{ZrO}_3$.



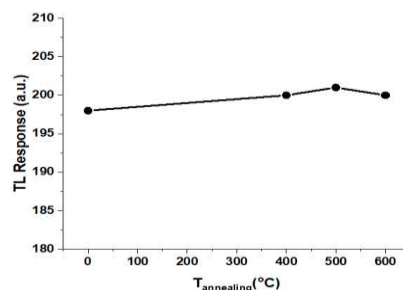
شکل(۹): تغییرات پاسخ ترمولومینسانس نمونه $\text{Ca}_{0.98}\text{Eu}_{0.02}\text{ZrO}_3$ در قرائت بعد از زمان‌های مختلف بعد از پرتودهی.

نمونه $\text{Ca}_{0.98}\text{Eu}_{0.02}\text{ZrO}_3$ در زمان‌های مختلف با UVC پرتودهی شد و نتایج آن در شکل ۱۰ آورده شد. همان‌طور که در شکل ۱۰ مشهود است، با تغییر زمان پرتودهی، از زمان ۱۰ تا ۳۰ ثانیه پرتودهی UV پاسخ ترمولومینسانس تقریباً به‌طور خطی افزایش یافته و پس از آن پاسخ زیرخطی می‌شود. علت زمان نسبتاً پایین شروع حالت زیرخطی می‌تواند شدت بالای لامپ فرایندهش به کار رفته باشد.



شکل (۱۰): تغییرات شدت ترمولومینسانس بر حسب زمان پرتودهی UV.

در شکل ۷ تأثیر دمای تابکاری روی حساسیت ترمولومینسانس آورده شد؛ یافتن رژیم گرمابی مناسب جهت انجام فرآیند تابکاری پیش از پرتودهی از اهمیت بالایی برخوردار است، لذا نمونه‌ها به‌مدت یک ساعت در دماهای مختلف حرارت‌دهی شدند. همان‌طور که در شکل ۷ مشخص است، این نمونه به‌دلیل این‌که به‌مدت سه ساعت در دمای 700°C کلسینه شده بود دمای تابکاری تأثیری روی حساسیت آن نداشت.



شکل(۷): پاسخ ترمولومینسانس $\text{Ca}_{0.98}\text{Eu}_{0.02}\text{ZrO}_3$ مربوط به دماهای مختلف تابکاری در زمان ۱۵ دقیقه در پرتودهی UVC.

یکی از شاخصه‌های مهم برای دزیمتر ترمولومینسانس، قابلیت استفاده مجدد بدون تغییر قابل ملاحظه در ساختار منحنی، درخشش و حساسیت آن می‌باشد. برای بررسی تکرارپذیری، نمونه ساخته شده با غلظت بهینه؛ $\text{Ca}_{0.98}\text{Eu}_{0.02}\text{ZrO}_3$ پرتودهی شد و منحنی آن ثبت شد. این فرآیند پنج مرتبه برای هر نمونه انجام شد و پاسخ ترمولومینسانس در انتهای هر مرحله از گرمادهی، پرتودهی و خوانش در شکل ۸ آورده شد که البته حساسیت نمونه در حدود سه درصد تغییر کرد. محوشدگی پایین نمونه در دمای اتاق، یکی از مهم‌ترین ویژگی‌های یک دزیمتر خوب است. برای بررسی این ویژگی نمونه در محیطی تاریک در دمای اتاق در زمان‌های مختلف بعد از پرتودهی نگهداری شد و سپس خوانش شد که نتایج آن در شکل ۹ مشهود است و مشاهده شد کاهش پاسخ TL نسبت به روز اول در حدود چهار درصد تغییر کرد.

طبق نتایج به دست آمده این پاسخ در ۵ مرتبه استفاده مکرر

تغییرات چندانی نداشته که حاکی از تکرار پذیر بودن پاسخ ترمولومینسانس نمونه ساخته شده است. در بررسی به عمل آمده مشخص شد که محوشدگی پاسخ ترمولومینسانس نانوفسفر $\text{CaZrO}_3:\text{Eu}^{3+}$ در دوره ۲۰ روزه پس از پرتو دهی بسیار کم بوده و این می‌تواند به خاطر دمای مناسب قله در منحنی درخشش باشد. طبق نتایج به دست آمده نانوفسفر $\text{CaZrO}_3:\text{Eu}^{3+}$ می‌تواند در دزیمتری پرتو فرابنفش UVC به روش ترمولومینسانس به کار گرفته شود.

۴. نتیجه گیری

در این پژوهش، نانوفسفر کربنات زیرکونیوم با ناخالصی بوروپیوم به روش سل-ژل احتراقی برای اولین بار در دمای پایین تهیه شد. نتایج آنالیز پراش پرتو ایکس (XRD) حاکی از تشکیل فاز نمونه در دمای 350°C با ساختار پروسکایت بود. هم‌چنین این نتایج نشان دادند که دمای بهینه جهت تشکیل نمونه تکفاز و بلوری نانوفسفر $\text{CaZrO}_3:\text{Eu}^{3+}$ در 700°C می‌باشد. منحنی درخشش ترمولومینسانس این ماده در پرتو دهی UVC شامل یک قله پهن در دمای 207°C می‌باشد.

۵. مراجع

- [1] M. Zahedifar and E. Sadeghi. Thermoluminescence dosimetry properties of new Cu doped CaF_2 nanoparticles, *Radiation Protection Dosimetry*, 157(2013) 303–309.
- [2] N. Salah, N.D. Alharbi, S.S. Habib and S.P. Lochab. Thermoluminescence properties of $\text{Al}_2\text{O}_3:\text{Tb}$ nanoparticles irradiated by gamma rays and 85 MeV C^{6+} ion beam, *Journal of Luminescence*, 167(2015) 59–64.
- [3] M. Zahedifar, F. Almasifard, E. Sadeghi, S. Harooni and M. K. Biroon. Thermoluminescence dosimetry properties and kinetic analysis of $\text{MgSO}_4:\text{Dy}$ microcrystalline prepared by solid state method, *Radiation Measurements*, 103(2017) 26–32.
- [4] H. Fukushima, D. Nakauchi, M. Koshimizu, N. Kawaguchi and T. Yanagida. Synthesis and scintillation properties of Ce-doped CaZrO_3 single crystals, *Japanese Journal of Applied Physics*, 59.SC (2019) SCCB15.
- [5] Z.G. Lu, L.M. Chen, Y.G. Tang and Y. D. Li. Preparation and luminescence properties of Eu^{3+} -doped MSnO_3 ($\text{M}=\text{Ca}$, Sr and Ba) perovskite materials, *Journal of Alloys and Compound*, 387(2005) L1–L4.
- [6] R. Parra, R. Savu, L.A. Ramajo, M.A. Ponce, J.A. Varela, M.S. Castro, P.R. Bueno and E. Joanni. Sol-gel synthesis of mesoporous $\text{CaCu}_3\text{Ti}_4\text{O}_{12}$ thin films and their gas sensing response, *Journal of Solid State Chemistry*, 183 (2010) 1209.
- [7] N. Pal, M. Paul and A. Bhaumik. New mesoporous perovskite ZnTiO_3 and its excellent catalytic activity in liquid phase organic transformations, *Applied Catalysis A*, 15(2011) 153–160.
- [8] M. Noh and Y.S. Lee. Optical characterization on perovskite zirconate nanocrystals, *Journal of Nanoscience and Nanotechnology*, 15(2015) 8267–8270.
- [9] Q. Guo, L. Liaon, L. Mei, H. Liu and Y. Hai. Color-tunable photoluminescence phosphors of Ce^{3+} and Tb^{3+} co-doped $\text{Sr}_2\text{La}_8(\text{SiO}_4)_6\text{O}_2$ for UV w-LEDs, *Journal of Solid State Chemistry*, 225(2015) 149–154.
- [10] N. Tiwari, R.K. Kuraria and S.R. Kuraria. Thermoluminescence (TL) glow curve and kinetic of $\text{CaZrO}_3:\text{Eu}^{3+}$ phosphor, *Advance Physics Letters*, 1(2014) 15–18.
- [11] E.V. Galuskin, V.M. Gazeev, T. Armbruster, A.E. Zaov, I.O. Galuskina, N.N. Pertsev, P.Dzierzanowski, M. Kadiyski, A.G. Gyrbanov, R. Wrzalik, A. Winiarski. Lakargiite CaZrO_3 : A new mineral of the perovskite group from the North Caucasus, Kabardino-Balkaria, Russia, *American Mineralogist*, 93(2008) 1903–1910.
- [12] H. Fukushima, D. Nakauchi, T. Kato, N. Kawaguchi and T. Yanagida. Scintillation and luminescence properties of undoped and europium-doped CaZrO_3 crystals, *Journal of Luminescence*, 223(2020) 117231.
- [13] Z. He, X.Y. Sun and X. Gu. Enhancements of luminescent properties of $\text{CaZrO}_3:\text{Eu}^{3+}$ by A^+ ($\text{A}=\text{Li}, \text{Na}, \text{K}$), *Chemical Physics*, 513(2018) 94–98.
- [14] H. Zhang, X. Fu, S. Niu and Q. Xin. Synthesis photoluminescence properties of Eu^{3+} -doped AZrO_3 ($\text{A}=\text{Ca}, \text{Sr}, \text{Ba}$) perovskite, *Journal of Alloys and Compound*, 459(2008) 103–106.
- [15] S.C. Hwang and G.M. Choi. The mixed ionic and electronic conductivity of CaZrO_3 with cation nonstoichiometry and oxygen partial pressure, *Solid state Ion*, 179(2008) 1042–1045.
- [16] C.S. Prasanth, H. Pamda Kumar, R. Pazhani, S. Solomon and J.K. Thomas. Synthesis, characterization and microwave dielectric properties of nanocrystalline CaZrO_3 ceramics, *Journal of Alloys and Compound*, 464(2008) 306–309.
- [17] W. Costa Macedo, A. Germano Bispo Junior, K. de Oliveira Rocha, A.E. de Souza Albas, A.M. Pires, S. Rainho Teixeira and E. Longo. Photoluminescence of Eu^{3+} doped CaZrO_3 red-emitting phosphors synthesized via microwave-assisted hydrothermal method, *Material Today Commun*, 24(2020) 10966.
- [18] V. Jayaraman, T. Gnanasekaran and G. Periaswami. Low-temperature synthesis of β -alumina by a sol-gel technique, *Materials Letters*, 30(1997) 157–162.
- [19] B. Evangeline and P. Abdol Azeem. Temperature optimization of CaZrO_3 nanophosphors by structural and photoluminescence studies, *Materials Today: Proceeding*, 3(2016) 3901–3907.
- [20] N. Tiwari, V. Dubey and R.K. Kuraria. Mechano luminescence Study of Europium Doped CaZrO_3 Phosphor, *Journal of Fluorescence*, 26(2016) 1309–1315.
- [21] N. Tiwari, R.K. Kuraria and S.R. Kuraria. Optical studies of Eu^{3+} doped CaZrO_3 phosphor for display device applications, *Optik*, 26(2015) 3488–3491.
- [22] S.D. Meetei and S.D. Singh. Hydrothermal synthesis and white light emission of cubic $\text{ZrO}_2:\text{Eu}^{3+}$ nanocrystals, *Journal of Alloys and Compound*, 587(2014) 143–147.

- [23] D. Prakashbabu, R. Hari Krishna, H. Nagabhushana, C. Shivakumara, R.P.S. Chakradar, H.B. Ramalingam, S.C. Sharma and R. Chandramohan. Spectrochimica Acta Part A: Molecular and Biomolecular Spectroscopy, 122(2014) 216–222.
- [24] S.D. Meetei and S.D. Singh. Effects of crystal size, structure and quenching on the photoluminescence emission intensity lifetime and quantum yield of ZrO_2 : Eu^{3+} nanocrystals, Journal of Luminescence, 147(2014) 328–335.